

## II-336 周期回帰式およびカルマン・フィルターによるオンライン予測の経験について

○ 東京工業大学 日野 幹雄  
 (株)数值解析研究所 吉川信二郎  
 日本電気(株) 栗原 達雄

1. 予測システムの概要<sup>1)</sup>: 本論文は、大気汚染の監視・予測・制御システム(APMS; (財)機械振興協会)の茨城県鹿島工業地帯における実用試験運用の結果の報告である。

a) 観測網—SO<sub>2</sub>・NO<sub>x</sub> の計測ステーション30ヶ所、煙源濃度測定約50点、地上および上空風速(50, 110, 220m)の測定、リモート気温分布計(PITS)、日射量計より成る。これらの測定値の10分平均値はセンターへ電話回線により通報され、2台のミニコン(NEAC-M4)で処理される。他に3時間ごとの気象情報が気象庁より送られてくる。

b) 統計制御モデル—中央コンピューターNEAC-2200/500により因子分析・回帰分析による予測とさらに予測誤差の修正予測をカルマン・フィルターにより行う。

c) 物理モデル—同じく中央コンピューターにより、総観および局所気象データから多変量解析による気象予測と、煙源データから排煙量の予測を行う。これらの予測値を用いてPuffあるいは準定常Plumeモデルによる濃度予測を行う。濃度規制値を越える危険性のある場合には、煙源規制を行った場合の効果を計算する。

d) ディスプレイ—濃度の実測および予測結果は、等濃度線図と十一C曲線に；また風速場はベクトルでカラーディスプレイ装置に表示される。

2. 因子レベル周期回帰式による予測<sup>2~3)</sup>—濃度および風速成分UVより成るベクトル×に対し正準因子分析を行う。

$$x = F f \quad \dots \dots \quad (1)$$

因子 $f$ に對し日周期性を考慮した位相回帰式を導く。

$$f(t+k) = B(T, k) g(t) \quad \dots \dots \quad (2)$$

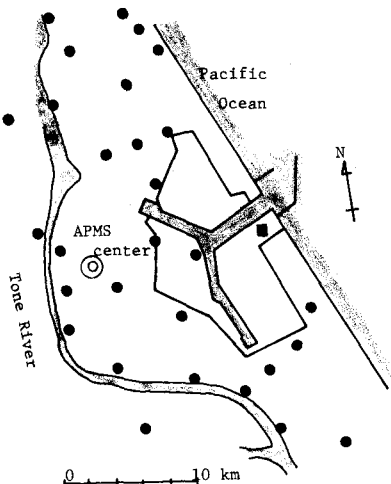


Fig. 1: APMS の実地試験地区の  
観測網

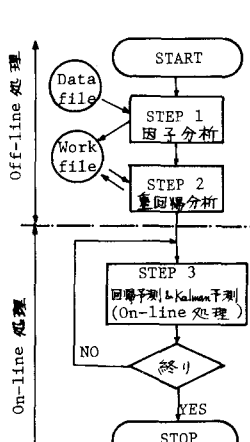
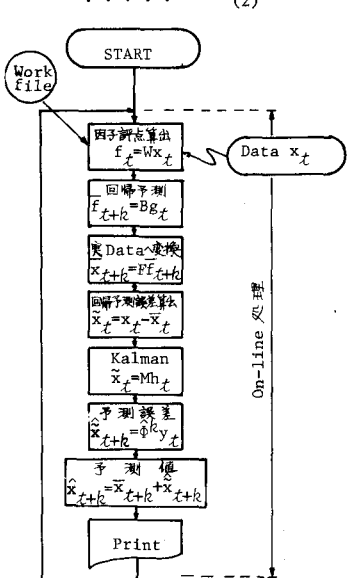


Fig. 2: 統計制御理論モデル



$$\therefore \text{由此可得}, g(t) = [ f^T(t) \ f^T(t-1) \ \cdots ]^T \quad \dots \dots \quad (3)$$

式(2)による予測は1～3時間先の予測に対して多くの場合、適切であった。

3. カルマン・フィルターによる予測<sup>2-3)</sup> —— さらに、予測精度を向上させるために、予測誤差

$$\ddot{x}(t) = x(t) - F(t) \bar{f}(t) \quad \dots \quad (4)$$

に対して、システム方程式

$$\tilde{x}(t) = \Phi(t-1) \tilde{y}(t-1) \quad \dots \quad (5)$$

(ここで、 $\tilde{y}(t) = [\tilde{x}^T(t) \quad \tilde{x}^T(t-1) \quad \tilde{x}^T(t-2) \quad \dots]^T \quad \dots(6)$  ) を仮定し、行列式をカルマン・フィルターにより同定する。すなわち、式(5)を

$$\tilde{x}(t) = M(t-1) h(t) \quad \dots \quad (7)$$

と観測方程式形に書き直す。こゝに,  $h(t) = [\phi_1 \ \phi_2 \ \cdots]^T$ ,  $M = \tilde{y}^T$  を対角要素とする行列。

$$\hat{h}(t|t) = \Lambda(t|t-1) \hat{h}(t-1|t-1) + K(t) [\tilde{x} - M\hat{h}(t-1|t-1)] \quad \dots \dots \quad (8)$$

係数ベクトルの最適推定値が求まると、式(5)より $\tilde{Y}$ を求める。

上記の二方法を併用した1~3時間先のSO<sub>2</sub>濃度の予測精度は80%程度であった。

(参考文献) 1) Sakagami, J., Hirase, M., Hino, M. & Yokoyama, O.: The air pollution forecast and control system, Proc. IFIP (1976). 2) 日野幹雄・森義一・吉川信一郎: カルマン・フィルターによる大気汚染の予測, 土木学会論文報告集 No. 224, 79~90 (1974). 3) 日野幹雄: 因子分析・回帰分析およびカルマン・フィルターによる環境濃度の予測, 文部省科学研究費 特定研究(1)「環境汚染制御」昭和48年度研究経過および研究報告書, 京大 横木義一編, 137~144 (1974). 4) 日野幹雄: カルマン・フィルターと多変量解析を組み合せた確率過程の予測法, 土木学会論文報告集 No. 228, 45~54 (1974).

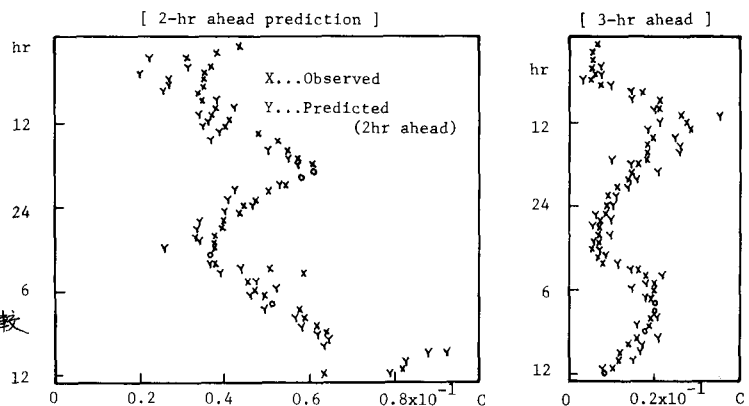


Fig. 3:

### 予測と実測のSO<sub>2</sub>濃度の比較

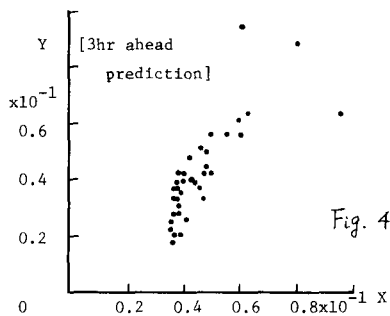
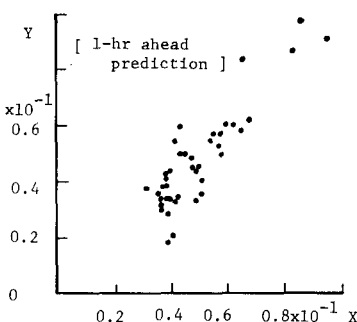


Fig. 4: 予測と実測の  $\text{SO}_3$  濃度の相関